

建設省土木研究所鹿島試験所 正員 山本晃一

1. はじめに

筆者は、ここ数年河口模型実験、河口に関する研究を行なってきましたが、模型の現象は現地の現象とどれだけ似ているのだろうか、あるいは、ある海岸で起った現象が他の海岸に適用できるのだろうかと言う疑問にいつも直面している。海岸変形の相似性については、次元解析によつて L. Recten¹、その後岩垣、野田²の研究があり、両者とも变形すれば、

$$\tau_{L_0} = f_0 (\tau_{L_0}, d_{H_0}, H_{L_0}, i_0, \gamma_h, (\rho_s - 1), \sqrt{d_m g H_0}) \quad \dots \dots \dots (1)$$

となり、平衡海浪については、実験的検討から、粘性の効果 $\sqrt{d_m g H_0}$ の影響は小さく、 d_{H_0}, H_{L_0} の大きさは支配要素となることが判つてゐる。

ところで海底に発生する波による ripple に関しては、塙川³や Yalin⁴の研究があるが、塙川らは ripple の波長、波高れは、

$$\varphi_1 (v_{in}, \sqrt{d_0}) = 0 \quad \varphi_2 (d_{in}, \bar{U}_0 d_0 / \rho_s, w_0 d_m / \rho_s) = 0 \quad \dots \dots \dots (2)$$

として ripple 形状を整理している。ここで、 \bar{U}_0, d_0 は底面近くの水粒子速度の振幅、および軌道長。

(2)式は(1)式の粘性項、時間項を除いた無次元量が、現地と模型で同一であつても、(2)式は成立しないことになる。このことは、(4)式によつて（粘性項を落とす）模型底質材料を決めて実験を行なつても、底面近くの ripple 形状の相似性は成立せず、波のエネルギー損失などが変化することになり、一式による実験結果を矛盾してゐるようだと思える。筆者は、模型実験を行なうという実際的な要請から ripple 形状も、(4)式と同じ形で現わせたいとか考案以下のことを行なつた。

2. ripple の相似性

ここでは ripple が生成し、安定形状になつた場合に、どんな要因によつてその形が決まるか次元解析によつてさかしだみる。ripple の形成に関係する要因は、流体の物理的特性 (ρ, ν)、底質の特性 (d_m, ρ_s)、底面近くにおける流れに関する特性 (d_0, \bar{U}_0)、運動の場の特性 (γ)

である。よつて ripple の特性 A は

$$A = f (\rho, \nu, d_m, \rho_s, \bar{U}_0, d_0, \gamma) \quad \dots \dots \dots (3)$$

基本量として γ, d_m, ρ を取ると

$$A = f (\sqrt{\rho d_m \cdot d_0}, \bar{U}_0 / \sqrt{g d_m}, S, d_0 / d_m) \quad \dots \dots \dots (4)$$

なお、粒径 d_m カれりに、沈降速度 w_0 を代用し、基本量として γ, \bar{U}_0, ρ を取ると

$$A = f (\bar{U}_0^2 / \gamma g, \bar{U}_0 / \sqrt{g d_0}, \bar{U}_0 w_0, S) \quad \dots \dots \dots (5)$$

今 A として 入、出、入とし、(5)式の両辺に $(\bar{U}_0 / \sqrt{g d_0})^2$ を積すると

$$\gamma d_0, \gamma h = f (\bar{U}_0^2 / \gamma g, \bar{U}_0 / \sqrt{g d_0}, \bar{U}_0 w_0, S) \quad \dots \dots \dots (6)$$

(4)式は、 $\gamma d_m, \gamma h = f (\sqrt{\rho d_0 \cdot d_m}, \bar{U}_0 / \sqrt{g d_0}, d_0 / d_m, S) \quad \dots \dots \dots (7)$

とする。底面近くの流れは、ripple によつて充分乱れ、流速分布は入、出、 \bar{U}_0, d_0 によつて決まり、 γ は流れの分布に関係せず、 γ の効果は小さい。粘性が関係するときは、水粒子速度と砂粒速度の差にもとづく、抵抗力に関する C_D や Basset 項であろう。もし C_D が一定と考えられれば γ に関するパラメータを落しても良いように思える。ただ ripple 発生限界附近においては境界層、 γ による γ の影響は残るだろう。また底質材料

が非常に細かい場合にはじの効果が残るだろう。

(6), (7)を便て Inman⁷⁾ (砂, $d_m = 0.01 \sim 0.1\text{cm}$), Scott⁸⁾ (砂, $d_m = 0.03\text{cm}$), 松葉, 大味⁹⁾ ($d_m = 0.014\text{cm}$), 田中, 新保³⁾ (石炭粉 $\delta = 0.5$, $d_m = 0.023\text{cm}$), 堀川, 渡辺 (ポリスチロール $\delta = 0.21$, $d_m = 0.054\text{cm}$) の資料を整理してみた。 W_0 の測定されていないものはルビーポリスチロールより求めた。よって W_0 は 1 ～ 2 割の誤差を含むものと考えてよい。なお d_m のかわりに W_0 を取った方が暗に C_0 の変化も含みやすくなるようと思える。粘性項の影響が少ないとすると(1)式(粘性項、時間項を除く)が成立すれば、ほぼ ripple の相似が成立することになる。

図1には横軸に $\%W_0$, 縦軸に ΔW_0 とし、図中に記号で ΔW_0 を示した。ここで Inman の資料しか示さないが、Scott の資料は少し下に、松葉の資料は上にあるが、ほぼ一直線上に固まる。 ΔW_0 と $\%W_0$ の違いによる ΔW_0 の変化は、はつきりしないが、同一 $\%W_0$ では ΔW_0 の大きい方が、 ΔW_0 が小さくなるようだ。

図2には横軸に $\%d_m$, 縦軸に Δd_m を取った。これによると $\%d_m$ が 1000 位までは $\%d_m$ の増加につれて、 Δd_m は増加し、ripple の波長は振幅 d_0 に追従しようとするが、 $\%d_m$ が 1000 を越えると、逆に Δd_m は小さくなる。(これが図1で $\%W_0$ が近くから $\%W_0$ と ΔW_0 の勾配が違う原因である。) 砂粒子の方向の移動距離が ripple の波長を決めてしまうのである。なお $\%d_m$ は砂粒子を飛ばそうとする力と、それに抵抗する力の比と見えることができる。また良いばらつき、大きくなれば Δd_m は $\%d_m$ である。および沈降速度の影響が直接影響するためであろう。この ripple の波長が、河床に現われる ripple の波長 λ_R とほぼ同一規模であるのは興味深い。なお河床 ripple は、0.8mm 以上でできず $U_{*}d_m / v < 20$ で発生し、粘性の影響を受けると言わせていいが、海底では土砾の行なう実験で 1.4 mm で現れていふ。筆者は河床 ripple が粒径と密接な関係のあること、dune と ripple の領域区分が、水路の規模によることと、dune は河床波と水面波の干涉と関係があり ripple は、河床近くの流れ特性によって決まると考えられることから、ripple と dune の領域区分は、 $U_{*}^2 / g d_m^{1/2}$, S , 水深関係するものと思つてゐる。今までの実験が限られていて前で行はゆく Δd_m の効果を見失さないものと思ひ得る。(大庭川では $d_{10} = 0.2\text{mm}$, $d_{50} = 3\text{mm}$, $d_{85} = 8\text{mm}$ の河床材料で、 $H = 4.5\text{m}$ で $\lambda_R = 5.0$ が観測されている。dune にしては短すぎ、 $\lambda_R / d_{85} = 1/700$ で ripple と見ても良いと思ひ得る。 $U_{*} d_{85} / v = 380$)

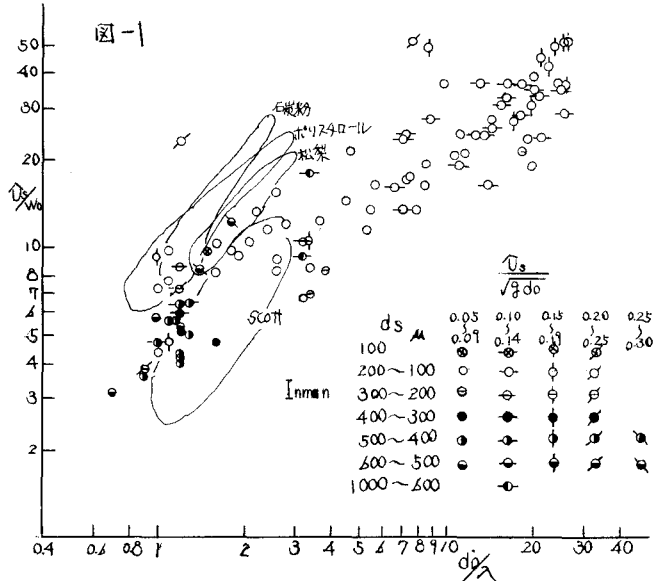
比重の効果は明確ではないが、石炭粉、ポリスチロールは、同一 $\%W_0$ に対して ΔW_0 が大きいようだ。これが ΔW_0 の効果か W_0 の誤差かはつきりしてない。なお ΔW_0 は、底質材料の静止または角 γ の影響が現われ、最大 ST-degree は砂 $\gamma = 15^\circ$, 石炭粉 $\gamma = 30^\circ$, ポリスチロール γ (これはそれなり 35° , 31° , 18° くらいである) とすると。なお石炭粉、ポリスチロールは、 ΔW_0 と Δd_m の因で点のばらつきが大きかった。

ripple の発生と消滅の限界には S の効果は大きく、石炭粉の場合 ~ 28 の間にしか ripple が発生していない。(砂の場合には 2.5 から 50 近くまで ripple が発生している。)

以上のことをより、ripple の形状は、 ΔW_0 , Δd_m , S あるいは Δd_m , $\%d_m$, δ を同一にすれば、ほぼ相似な ripple 形状が成立し、粘性の影響は二次元的であると思われる。なお S は ripple の波長にあまり大きな影響をあたえないが、ripple の発生、消滅限界には大きく関係し、 S の大きい方が ΔW_0 の小さい値で消滅する。これは、 S の大きい方の、相対的粒子、突出高が大きくなり、底面に働く力が大きくなり、ripple の消滅が早くなるものと考えられる。

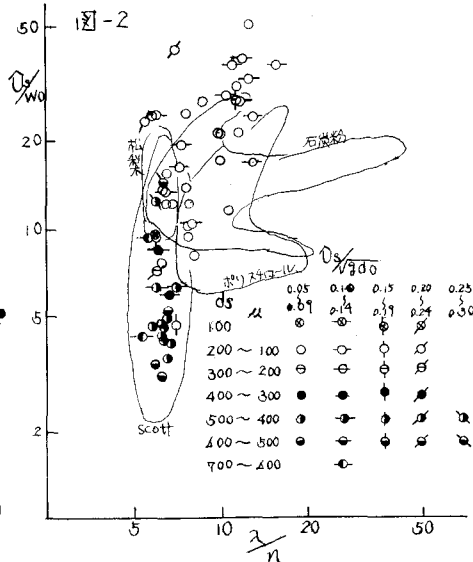
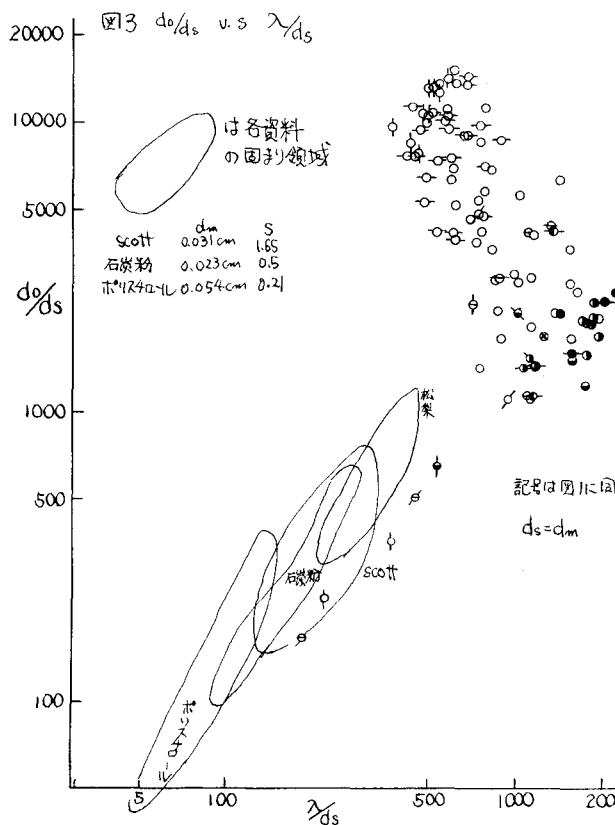
底面の境界層が乱流の場合、ripple は移動限界を越えるとすぐ発生することが知られている。このことは、ripple の発生限界を支配する無次元パラメーターとして、移動限界を支配する無次元パラメーター S_{sediment} と $\Delta d_m / d_m$ を考えれば良いだろう。 $S_{\text{sediment}}^{1/2} / \%W_0 \rightarrow (\Delta d_m / d_m)^2 \tan \gamma$, $\Delta d_m / d_m \rightarrow (\Delta d_m / d_m)^2 (\Delta W_0 / \%W_0)$, S とすると、 $\Delta W_0 / \%W_0$, $\Delta d_m / d_m$, S を同一にすれば ripple の発生限界は同一となる。境界層が層流の場合にはじを含んだ無次元が必要であろう。消滅限界も $\Delta W_0 / \%W_0$, $\Delta d_m / d_m$, S を同一にすれば良いと考えられる。

図-1



参考文献

- 1) Rector, R.L.; Laboratory Study of Equilibrium Profiles of Beaches, Beach Erosion Board, T.M. No.41, 1954
- 2) 岩垣、野田; 海岸変形実験における縮尺効果の研究; 第8回海講, 1961
- 3) 田中、新保; 移動床模型実験用底質材料としての石炭粉の特性について, 港湾技研報告 Vol.12, No.1, Mar., 1973
- 4) 瑠川、渡辺; 波による砂移動に関する考察, 第13回海講, 1966
- 5) 松栄、大味; 波による底質の変形について; 第11回海講, 1964
- 6) Scott; Sand Movement by Waves, Beach Erosion Board Tech. Memo No.48



- 7) Inman, Wave-generated Ripples in Near-shore Sands, Beach Erosion Board, Tech. Memo. No.100, 1957
- 8) Yalin; Similarity in Sediment Transport due to Waves, Proc. of 8th Conference on Coastal Engineering, 1953
- 9) Honma, Horikawa; Suspended Sediment due to Wave Action; Proc. of 8th Conference on

Coastal Engineering, 1963

⑩ 水理委員会移動床流れの抵抗と河床形状研究小委員会; 移動床流れにおける河床形態と粗度, 工木学会論文集

No.210 1973-2 ⑪ 水理公式集 P199